

Ultimo aggiornamento delle informazioni: Marzo 2025

Configurazione di prodotto: QL89

QL89: Ø1150mm - warm white - Microprismato - DALI

**Codice prodotto**

QL89: Ø1150mm - warm white - Microprismato - DALI

Descrizione tecnica

Apparecchio rotondo per installazione a plafone con possibilità di installazione anche ad incasso e a sospensione tramite accessorio da ordinare separatamente. Emissione diretta finalizzato all'impiego di sorgenti LED warm white 3000K. Il vano ottico è composto da una cornice di estruso in alluminio verniciato, uno schermo diffusore in metacrilato satinato per emissione UGR<19 3000cd/mq e un fondello di chiusura posteriore in lamiera. Il driver è alloggiato nella parte superiore del prodotto.

Installazione

A plafone. Ad incasso o sospensione tramite accessorio da ordinare separatamente

Colore

Bianco (01) | Nero (04)

Peso (Kg)

23.7

Montaggio

a parete/a soffitto

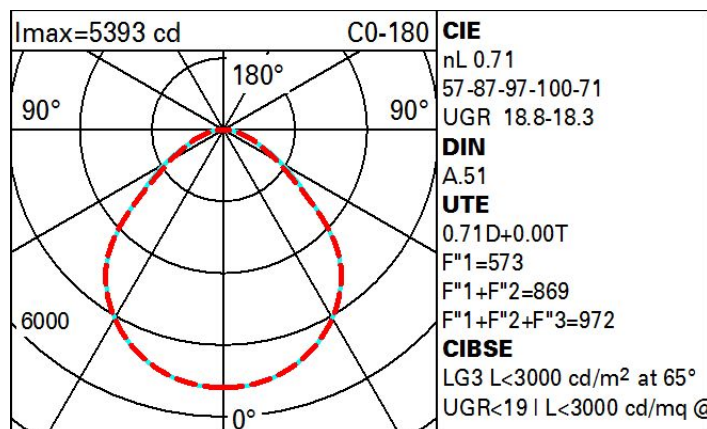
Cablaggio

Prodotto completo di componentistica elettronica. I cavi elettrici impiegati sono realizzati in materiale "halogen free". (cavi che non contengono materiali alogeni che in caso di incendio non emettono gas tossici, gas corrosivi ed emettono una bassa quantità di fumi opachi).

Soddisfa EN60598-1 e relative note

**Dati tecnici**

| | | | |
|--|-------|------------------------------------|-------------------------------|
| Im di sistema: | 12567 | Temperatura colore [K]: | 3000 |
| W di sistema: | 100.9 | MacAdam Step: | 3 |
| Im di sorgente: | 17700 | Life Time LED 1: | 50,000h - L90 - B10 (Ta 25°C) |
| W di sorgente: | 93 | Codice lampada: | LED |
| Efficienza luminosa (lm/W, dati di sistema): | 124.5 | Numero di lampade per vano ottico: | 1 |
| Im in modalità emergenza: | - | Codice ZVEI: | LED |
| Flusso totale emesso a 90° o superiore [Lm]: | 0 | Numero di vani ottici: | 1 |
| Light Output Ratio (L.O.R.) [%]: | 71 | Control: | DALI-2 |
| CRI (minimo): | 80 | | |

Polare

Coefficienti di utilizzazione

| R | 77 | 75 | 73 | 71 | 55 | 53 | 33 | 00 | DRR |
|------|----|----|----|----|----|----|----|----|-----|
| K0.8 | 50 | 43 | 38 | 35 | 42 | 38 | 37 | 33 | 47 |
| 1.0 | 55 | 48 | 44 | 40 | 47 | 43 | 43 | 38 | 54 |
| 1.5 | 61 | 56 | 53 | 49 | 55 | 52 | 51 | 47 | 66 |
| 2.0 | 65 | 61 | 58 | 55 | 60 | 57 | 56 | 53 | 74 |
| 2.5 | 68 | 64 | 62 | 59 | 63 | 61 | 60 | 56 | 79 |
| 3.0 | 69 | 66 | 64 | 62 | 65 | 63 | 62 | 59 | 83 |
| 4.0 | 71 | 69 | 67 | 65 | 67 | 66 | 65 | 61 | 87 |
| 5.0 | 72 | 70 | 69 | 67 | 69 | 67 | 66 | 63 | 89 |

Curva limite di luminanza

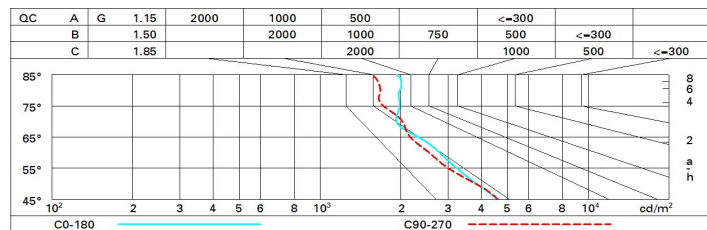


Diagramma UGR

| Corrected UGR values (at 17700 lm bare lamp luminous flux) | | | | | | | | | | | |
|--|-----|---------------------|------|------|------|------|-------------------|------|------|------|------|
| Reflect.: ceiling/cav walls work pl. Room dim x y | | viewed crosswise | | | | | viewed endwise | | | | |
| 2H | 2H | 10.2 | 17.3 | 10.5 | 17.0 | 17.8 | 10.3 | 17.4 | 10.0 | 17.0 | 17.9 |
| | 3H | 17.1 | 18.0 | 17.4 | 18.3 | 18.0 | 10.0 | 17.5 | 10.9 | 17.8 | 18.1 |
| | 4H | 17.4 | 18.3 | 17.8 | 18.0 | 18.9 | 10.7 | 17.5 | 17.0 | 17.9 | 18.2 |
| | 6H | 17.8 | 18.0 | 18.2 | 18.9 | 19.3 | 10.7 | 17.5 | 17.0 | 17.8 | 18.1 |
| | 8H | 17.9 | 18.7 | 18.3 | 19.1 | 19.4 | 10.0 | 17.4 | 17.0 | 17.8 | 18.1 |
| | 12H | 18.1 | 18.8 | 18.4 | 19.2 | 19.5 | 10.0 | 17.4 | 17.0 | 17.7 | 18.1 |
| 4H | 2H | 10.0 | 17.5 | 10.9 | 17.8 | 18.1 | 17.4 | 18.3 | 17.8 | 18.0 | 18.9 |
| | 3H | 17.0 | 18.3 | 18.0 | 18.7 | 19.1 | 17.9 | 18.7 | 18.3 | 19.0 | 19.4 |
| | 4H | 18.1 | 18.7 | 18.5 | 19.1 | 19.5 | 18.1 | 18.8 | 18.5 | 19.2 | 19.0 |
| | 6H | 18.0 | 19.1 | 19.0 | 19.5 | 20.0 | 18.3 | 18.9 | 18.7 | 19.3 | 19.7 |
| | 8H | 18.8 | 19.3 | 19.2 | 19.7 | 20.2 | 18.3 | 18.8 | 18.8 | 19.3 | 19.7 |
| | 12H | 18.9 | 19.4 | 19.4 | 19.8 | 20.3 | 18.3 | 18.8 | 18.8 | 19.2 | 19.7 |
| 8H | 4H | 18.2 | 18.8 | 18.7 | 19.2 | 19.7 | 18.7 | 19.3 | 19.2 | 19.7 | 20.1 |
| | 6H | 18.9 | 19.3 | 19.3 | 19.8 | 20.2 | 19.0 | 19.5 | 19.5 | 19.9 | 20.4 |
| | 8H | 19.1 | 19.5 | 19.6 | 20.0 | 20.5 | 19.2 | 19.6 | 19.7 | 20.0 | 20.5 |
| | 12H | 19.4 | 19.7 | 19.9 | 20.2 | 20.7 | 19.3 | 19.6 | 19.8 | 20.1 | 20.0 |
| 12H | 4H | 18.3 | 18.8 | 18.7 | 19.2 | 19.7 | 18.8 | 19.3 | 19.3 | 19.8 | 20.2 |
| | 6H | 18.9 | 19.3 | 19.4 | 19.8 | 20.3 | 19.2 | 19.6 | 19.7 | 20.0 | 20.5 |
| | 8H | 19.2 | 19.6 | 19.7 | 20.0 | 20.6 | 19.4 | 19.7 | 19.9 | 20.2 | 20.7 |
| Variations with the observer position at spacing: | | | | | | | | | | | |
| S = | | 1.0H | | | | | 0.3 / -0.3 | | | | |
| | | 1.5H | | | | | 0.5 / -0.8 | | | | |
| | | 2.0H | | | | | 1.0 / -1.1 | | | | |